

Enstatite 素地에 미치는 添加劑의 影響

李 應 相 · 吳 昌 驛

漢陽大學校 無機材料工學科

(1983年 11月 15日 接受)

A Study on the Effect of the Additive the Enstatite Body

Eung-Sang Lee and Chang-Sup Oh

Dept. of Inorganic Material Eng. Han Yang Univ.

(Received 15 Nov., 1983)

ABSTRACT

The effect of additives, ZrO_2 and TiO_2 , on the enstatite body the composition of which was $MgO \cdot SiO_2$ has been closely investigated on the physical properties and microstructure. ZrO_2 and TiO_2 as additives were added by weight 5, 10, 15, 20, 25% and 1, 2.5, 5, 10, 20% respectively to the mixture ($MgO : SiO_2 = 1 : 1$), and fired at the temperature ranging from $1300^\circ C$ to $1450^\circ C$ and $1275^\circ C$ to $1375^\circ C$. Increasing the addition of ZrO_2 to 20%, the physical property became better. In case of TiO_2 , the sample containing 20% TiO_2 had a best effect on the enstatite body. The optimum firing range proved to $1425^\circ C$ for ZrO_2 and $1325 \sim 1350^\circ C$ for TiO_2 . The effect of ZrO_2 and TiO_2 addition, on the thermal expansion was observed not to be remarkable.

1. 序 論

Enstatite 素地는 $MgO \cdot SiO_2$ 系 素地의 한 종류로 투광성과 白色度, 유진손질이나 力率이 낮아서 고주파 절연체나 고급 석기류에 적합하며, 열팽창율이 작아서 열충격 저항이 큰 특성을 지니고 있다⁽¹⁾⁽²⁾⁽¹¹⁾⁽¹²⁾.

$MgO \cdot SiO_2$ 系의 상평형관계에 관한 연구는 Bowen과 Anderson에 의해 시작되었는데⁽⁹⁾ 그후 Hall과 Insley에 의해 Forsterite($2MgO \cdot SiO_2$), Enstatite($MgO \cdot SiO_2$)가生成된다는 것이 밝혀졌다⁽¹³⁾.

$MgO \cdot ZrO_2 \cdot SiO_2$ 3 성분계에 대해서는 1930년에 Rees와 Chesters가 3 성분계 化合物로 $4MgO \cdot ZrO_2 \cdot SiO_2$ 를 추측해 놨고⁽¹⁰⁾, Roussin과 Chesters는 2 가지 3 성분계 화합물 $MgO \cdot ZrO_2 \cdot SiO_2$ 와 $4MgO \cdot ZrO_2 \cdot SiO_2$ 가 존재한다고 결론지었다⁽¹⁴⁾. 그러나 Pennsylvania 주립대학 연구팀은 $MgO \cdot ZrO_2 \cdot SiO_2$ 3 성분계에서 생성되는結晶

相은 monoclinic-zirconia, Cubic-zircon, Cristobalite, Periclase, Forsterite, Enstatite 일뿐 3 성분계 화합물은 생성되지 않았다고 발표하였으며⁽¹⁵⁾, Foster 또한 3 성분계 화합물은 발견하지 못했고, $1400^\circ C$ 부근에서 3 성분계의 완전한 固相반응이 진행될다는 것을 확인하였다. Clino-Enstatite 와 Zircon의 分解反応이 있을 것이라고 추측하였다⁽³⁾.

$MgO \cdot TiO_2 \cdot SiO_2$ 3 성분계에 대한 상평형의 관계는 F. Massazza와 E. Sirchia에 의해 밝혀졌다⁽⁷⁾.

본 연구에서는 Enstatite 素地에 ZrO_2 와 TiO_2 의 첨가량을 변화시키면서, 첨가량의 변화와 烧成温度의 변화에 따라 나타나는 結晶相의 변화에 대하여 조사하였다. 또한 ZrO_2 와 TiO_2 의 첨가가 Enstatite 素地의 烧結에 미치는 영향과 열팽창율, 선수축율, 흡수율, 미세구조 등을 조사하였다.

Table 1. Composition of Raw Materials
(Wt. %)

Mineral Composition	MgO Clinker	Talc
SiO ₂	1.85	64.9
Al ₂ O ₃	0.54	2.6
Fe ₂ O ₃	0.34	0.2
CaO	2.22	0.8
MgO	94.32	27.2
Na ₂ O		0.06
K ₂ O		0.04
TiO ₂		Tr
MnO ₂		0.03
Igloss	0.73	4.4

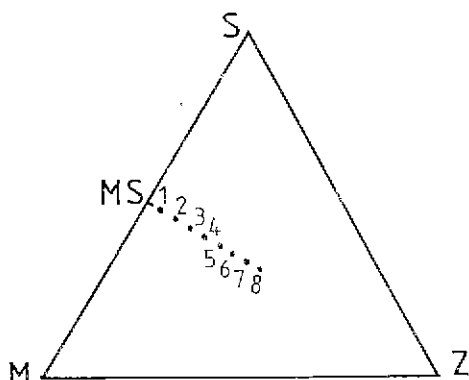


Fig. 1. Batch의 組成

Table 2. Batch Composition

Material Comp.	Talc	MgO Clinker	ZrO ₂	TiO ₂
S	MgO 1.59SiO ₂	0.59MgO		
O ₁	"	"	5%	
O ₂	"	"	10%	
O ₃	"	"	15%	
O ₄	"	"	20%	
O ₅	"	"	25%	
T ₁	"	"		1%
T ₂	"	"		2.5%
T ₃	"	"		5%
T ₄	"	"		10%
T ₅	"	"		15%

2. 實驗方法

2-1. 출발원료

본 실험에서 사용된 원료는 결성활석과 海水 Magnesia 분말을 사용하였으며 첨가제인 ZrO₂와 TiO₂는純正 1급시약을 사용하였다.

Talc는 20mesh 이하로 粗粉碎한 후 Ball mill을 사용하여 48시간 습식 微粉碎하였다. 이렇게 해서 얻은 Talc와 Magnesia Clinker를 900°C에서 하소한 후 250mesh 이하로 粒度를 조정하였다.

사용한原料의 化학 분석치는 Table 1.과 같다.

2-2. Batch의 調成

1. MgO와 SiO₂가 1:1 mole 比인 MgO·SiO₂에 ZrO₂의 첨가량이 증가됨에 따라 Enstatite結晶은 점차 사라지게 되므로²⁾ ZrO₂를 5~40%까지 5% 간격으로 첨가하여 생성되는 결정상태를 X-ray 회절 분석으로 조사해 보았다. 각각의組成은 Fig. 1에 나타나 있는 데 ZrO₂를 30% 첨가한 6번組成까지는 Clino-Enstatite와 Zircon, Forsterite가 생성되나 7번組成부터는 Clino-Enstatite 결정이 생성되지 않고 Forsterite, Monoclinic-Zirconia, Zircon이 생성되므로 ZrO₂의 첨가량을 25% 이하로 하였다.

MgO-TiO₂-SiO₂系에 대해서는 Clino-Enstatite가 생성되는 범위 内에서³⁾, TiO₂의 첨가량을 15% 이하로 결정하였다.

2. Enstatite의 主結晶인 Clino-Enstatite가 조성되도록 하기 위하여 MgO : SiO₂의 Mole比가 1:1이 되도록 Talc와 Magnesia Clinker를 혼합한 후, ZrO₂를 5~25%, TiO₂를 1~15%까지 빈화첨가하여 각각 O-Series와 T-Series로 하였다.

각 시료의組成表는 Table 2.와 같다.

2-3. 시편제작

調合된 모든 시료는 Ball Mill에서 고무滾球를 사용하여 3시간 동안 습식 혼합한 후 건조하고 다시 칼발에서粉碎하여 10×1×0.5cm의 Bar Mold에서 800kg/cm²의 압력으로 성형하였다.

성형된 시편은 SiC 전기저항로에서 Z-Series는 1300, 1350, 1400, 1425, 1450°C, T-Series는 1275, 1300, 1325, 1350, 1375°C의 5단계로 소성한 후 토네에서 자연 냉각시켰다.

2-4. 物性測定

겉보기 비중, 흡수율, 소성 선수축을은 KSL 3114, KSL 4004에 의해 측정하였고, 쭉임장도는 Instron Universal Test Machine으로 抗折荷重을 측정하였으

며 열팽창 계수는 無荷重式 Dilatometer 를 사용하여 측정하였다.

2-5. 微細構造

X-ray 회절분석과 편광 현미경으로 소성된 각試片의 結晶相과 미세구조를 검토하였다. X-ray 회절분석時の 조건은 다음과 같다.

Simatzu VD-1

Cu-target, Ni-filter, 30kV-15mA : GM. Full Scale : 100c/s Scanning speed : 4°C/min, Chart speed : 40mm/min

3. 結果 및 考察

3-1. 吸水率

ZrO_2 를 첨가한 경우 Fig. 2와 같이 전반적으로 낮은 값을 보였으며, 1425°C 까지 온도가 올라갈 때 따라 규격히 감소하고 있으나 1425°C 이상에서는 큰 변화가 없는 것으로 보아 燒結이 어느 정도 진행된 것으로 보였다. ZrO_2 의 첨가량 변화에 따른 큰 차이는 없으나, 20%, 25% 첨가한 O_4 와 O_5 가 낮은 값을 보였다.

TiO_2 를 첨가한 경우, Fig. 3에서 보듯이 표준 시편보다는 상당히 낮은 값을 보였으며 온도가 상승할 때 따라 완만한 감소 추세를 나타냈다. 1350°C 에서는 T_4 , T_5 가 낮은 값을 나타내지만 1375°C 에서는 오히려 흡수율이 증가하고 있는 것으로 봐서 素地가 過燒되어 전체적으로 氣孔이 증가한 것으로 보인다.

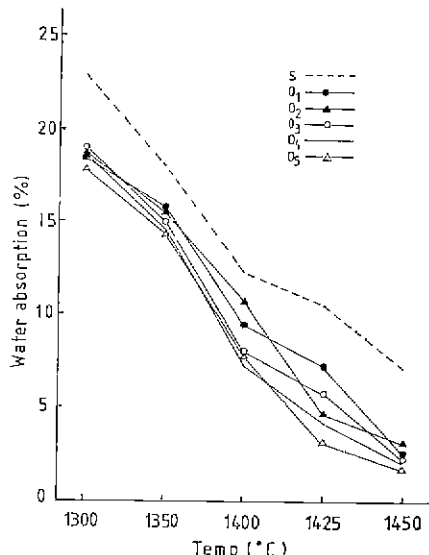


Fig. 2. Water absorption of Enstatite body added ZrO_2

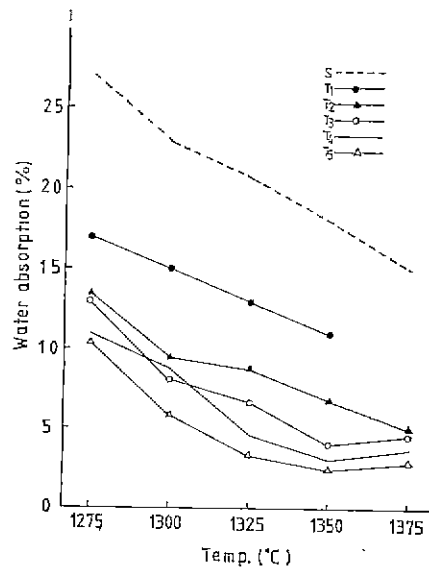


Fig. 3. Water absorption of Enstatite body added TiO_2

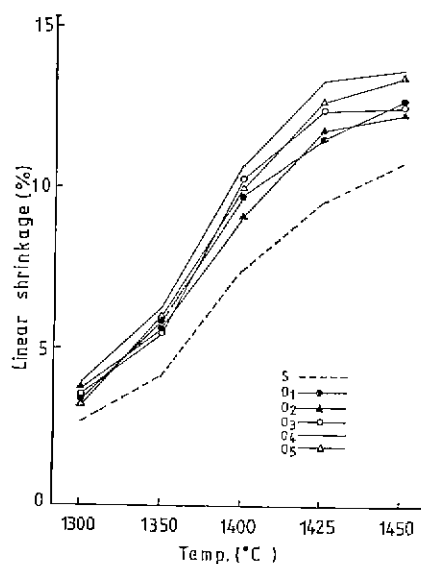


Fig. 4. Linear Shrinkage of Enstatite body added ZrO_2

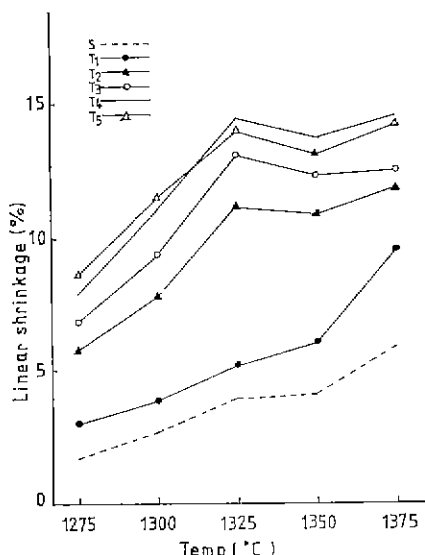
3-3. 선수축률

素地의 수축은 neck領域에서 빙 공간으로 液相이 이동하는 것과 粒子의 일부가 液相을 형성하는데 그 원인이 있으며, 흡수율과 같이 소결의 진행 정도를 알 수 있다¹⁶⁾.

Fig. 4에서 ZrO_2 를 20% 첨가한 O_4 가 전체적으로

Table 3. Apparent bulk density of Enstatite body added ZrO_2

Temp. [°C] \ Comp.	1300	1350	1400	1425	1450
S	3.05	3.07	3.09	3.14	3.13
O ₁	3.15	3.16	3.19	3.26	3.17
O ₂	3.23	3.25	3.26	3.29	3.25
O ₃	3.32	3.34	3.36	3.39	3.37
O ₄	3.38	3.42	3.43	3.47	3.44
O ₅	3.42	3.47	3.50	3.53	3.51

Fig. 5. Linear Shrinkage of Enstatite body added TiO_2

높은 선수축율을 보였으며, ZrO_2 의 첨가량 변화에는 크게 영향을 받지 않는 것으로 나타났다. 瓣結이 진행되어 素地內의 기공이 어느 정도 glass matrix에 의해 채워지는 $1425^{\circ}C$ 부터는 선수축율이 크게 변하지 않았다.

Fig. 5에서 TiO_2 를 첨가한 경우는 $1325^{\circ}C$ 까지는 규격히 상승하다가 $1350^{\circ}C$ 에서는 오히려 감소되는데 이것은 界面를 따라 過量生成된 유리질 Matrix에 의한 영향이라고 생각된다¹⁷⁾. 첨가제를 넣지 않은 표준시편은 상당히 낮은 선수축율을 보였는데, 이 온도 범위에서는 소결이 되지 않은 것으로 보인다.

3-4. 절보기 비중

ZrO_2 의 경우 Table 3.과 같이 첨가량의 증가에 따라 약간씩 증가하고 있으며 $1425^{\circ}C$ 에서 가장 높은 값을 보였다.

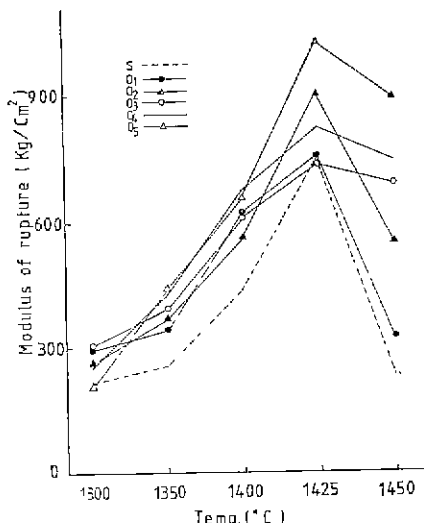
Table 4.에서 TiO_2 를 2.5%, 15% 첨가한 T₂, T₅는 $1325^{\circ}C$ 에서, 5%, 10% 첨가한 T₃, T₄는 $1300^{\circ}C$ 에서 가장 높은 값을 보였다. 이것은 T₂, T₅가 $1325^{\circ}C$ 에서 T₃, T₄는 $1300^{\circ}C$ 에서 가장 높은 強度를 나타냈던 것과 잘 일치하였다.

3-5. 꺾임 強度

꺾임 강도는 ZrO_2 를 첨가한 경우 Fig. 6에서 보듯이 $1425^{\circ}C$ 에서 가장 높은 값을 보였다. ZrO_2 를 5%, 10% 첨가한 O₁, O₂와 표준시편은 $1450^{\circ}C$ 에서 급격히 強度가 떨어지는 것으로 봐서 瓣結溫度 범위가 좁다는

Table 4. Apparent bulk density of Enstatite body added TiO_2

Temp. [°C] \ Comp.	1275	1300	1325	1350	1375
S	3.03	3.05	3.06	3.08	3.08
T ₁	3.07	3.07	3.07	3.08	3.14
T ₂	3.08	3.12	3.15	3.14	3.11
T ₃	3.08	3.18	3.10	3.10	3.08
T ₄	3.11	3.19	3.15	3.11	3.07
T ₅	3.08	3.13	3.17	3.11	3.09

Fig. 6. Modulus of rupture of Enstatite body added ZrO_2

것을 알 수 있었다¹⁷⁾. 또한 ZrO_2 의 첨가량이 증가함에 따라 절차 높은 강도를 보였다.

Fig. 7에서 $1300^{\circ}C$ 까지는 표준 시편보다 월등히 높은 강도값을 보이나, $1375^{\circ}C$ 에서는 TiO_2 를 1% 첨가

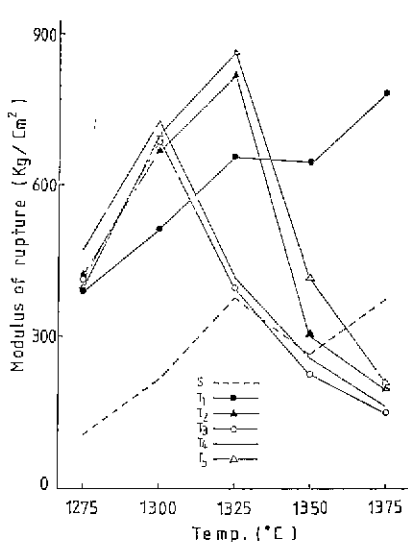


Fig. 7. Modulus of rupture of Enstatite body added TiO_2

한 T_1 을 제외하고는 오히려 낮은 값을 보이는 것으로
봐서 표준시편의 烧結溫度는 1375°C 이상일것으로 생
각된다. 1300°C 에서 T_3 , T_4 가 그리고 1325°C 에서 T_2 ,
 T_5 가 가장 높은 값을 보이는 것은前述한 걸보기 비중
이 T_2 , T_5 에서 가장 큰 값을 보이는 것과 잘 일치하
였다.

3-6. 열간 선팽창

열간 선팽창에는 結品의 배열상태, 烧成溫度, 烧成
분위기, 氣孔率, 密度등 많은 要因이 있다⁹⁾.

Fig. 8은 ZrO_2 를 25% 첨가한 O_5 와 표준시편에 대
한 열간 선팽창율인데, ZrO_2 의 첨가가 Enstatite 素地
의 열팽창에 미치는 영향은 크지 않으며 烧成온도에 따
라서도 차이가 없었다. 열팽창 계수는 1425°C 에서 소
성한 것이 8.10×10^{-5} 의 값을 갖는데 이같은 열팽창계
수로 말미암아 Enstatite 소자는 열충격에 강한 성질을
갖게 되는 것으로 추측되었다.

Fig. 9는 T_4 와 표준시편에 대한 열간 선팽창율인데,
 1325°C 에서 烧成한 것이 큰 값을 보이는 것으로 봐서
結晶이 잘 발달된 것으로 나타났다. TiO_2 의 첨가도 열
팽창에 대해서는 큰 영향을 주지 않는 것으로 보이며
열팽창 계수는 1300°C 에서 소성한 T_4 가 9.20×10^{-5} 의
값을 보였다.

3-7. 微細構造

Fig. 10은 ZrO_2 를 25% 첨가한 O_5 를 관찰한 500배
의 현미경 사진이다. 1300°C 에서 소성한 것은 粒子가

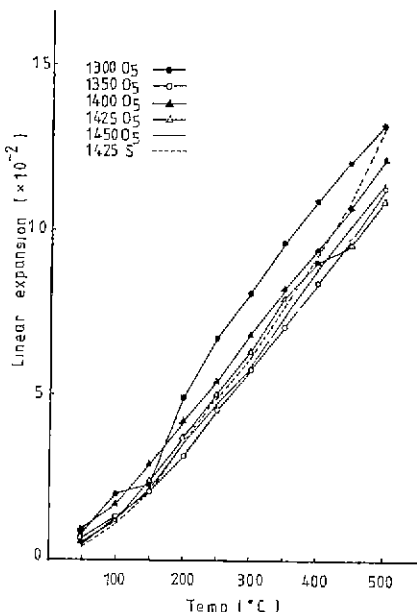


Fig. 8. Thermal expansion of Enstatite body added ZrO_2

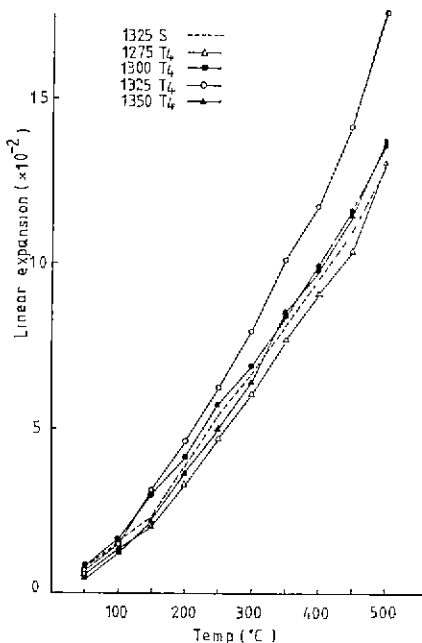


Fig. 9. Thermal expansion of Enstatite body added TiO_2

큰데 비해서 烧成溫度가 올라갈 수록 粒子가 微細하고
침밀해져 소결이 잘 진행된 것을 볼 수 있었다. 이것
은 強度나 결보기 비중이 1425°C 에서 가장 높은 값을

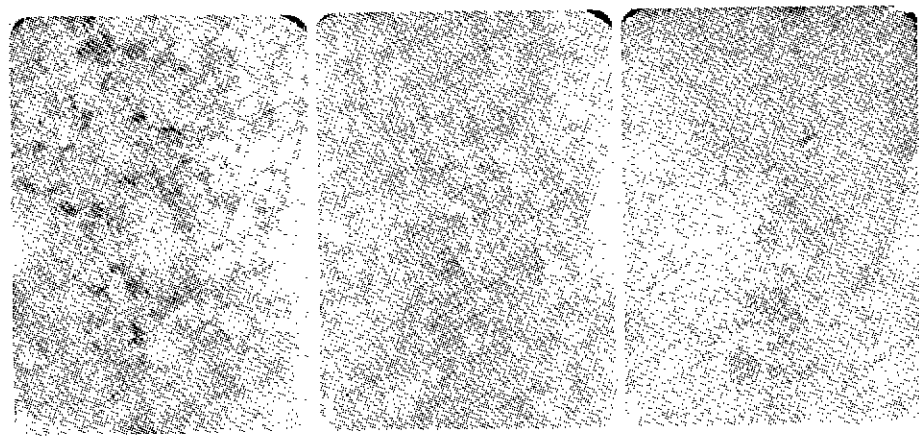


Fig. 10. Microphotographs of Enstatite body Added ZrO₂

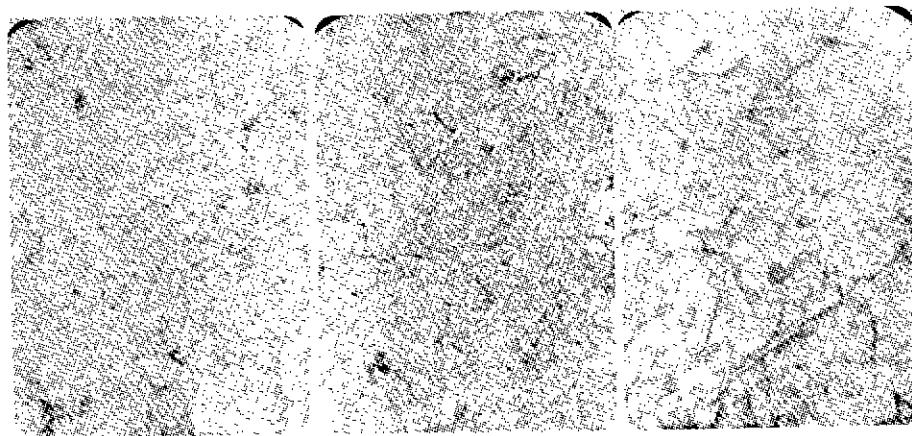


Fig. 11. Microphotographs of Enstatite body Added TiO₂

보였던 것과 일치하고 있다.

Fig. 11은 TiO₂를 첨가한 것인데, 強度 및 제반 物性이 우수했던, 1300°C에서 煅成한 시편은, 미세한 結晶이 고루 분포되어 있는 것이 보이나, 1325°C, 1350°C로 소성온도가 올라감에 따라 界面을 따라 細弱의 유리질 Matrix가 生成되기 시작하여 氣孔의 증가도 관찰된다.

3-8. X-線 回折分析

Fig. 12는 ZrO₂의 첨가량 변화에 따르는 結晶相의 변화를 보여주고 있다. ZrO₂의 첨가량이 증가할 수록 Monoclinic-Zirconia와 Forsterite의 量이 점차 증가하고, Clino-Enstatite의 量은 점점 줄어드는 것을 볼

수 있다.

Fig. 13은 T₄에 대한 X-線 회절분석표로서 1325°C 근처에서 Clino-Enstatite 結晶이 활발하게 生成되며, 과잉 MgO나 과잉 SiO₂ 結晶이 단독으로 형성되지 않아 좋은 物性을 나타낸 것으로 생각된다.

4. 結 論

이상과 같은 연구 결과를 종합하여 다음과 같은 결론을 내릴 수 있다.

1. ZrO₂를 첨가한 경우 25% 첨가한 것이 強度面에서는 좋은 효과를 보이나 25% 이상에서는 Clino-Enstatite 結晶이 줄어들고 Forsterite의 量이 증가하게 되

Enstatite 素地에 미치는 添加剤의 影響

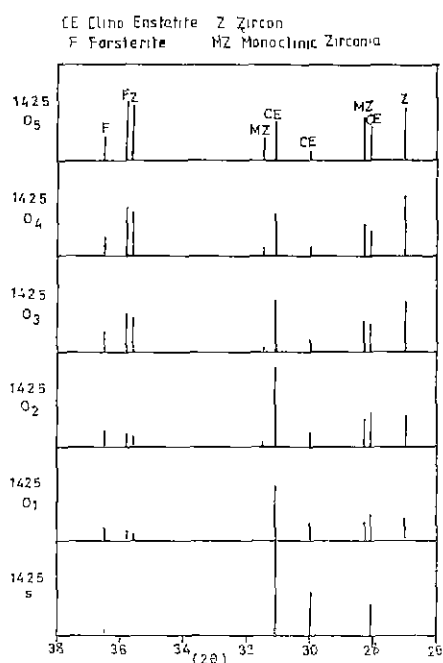


Fig. 12. X-Ray diffraction pattern of Enstatite body added ZrO_2

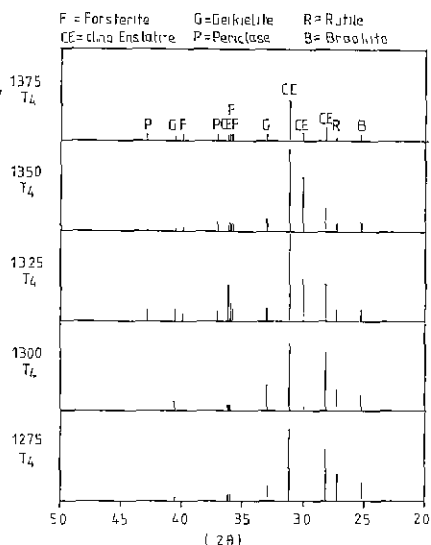


Fig. 13. X-Ray diffraction pattern of Enstatite body added TiO_2

으로 Enstatite 素地에는 25% 이하가 적절하다.

2. TiO_2 를 첨가한 경우, 10% 첨가된 것이 強度面에서는 조금 떨어지나 소성온도가 낮고 미세구조에 있

이 치밀함을 보여주며 제반 物性도 우수하였다.

3. 최저 소성온도는 ZrO_2 를 첨가한 경우 1425°C 이며, TiO_2 를 첨가한 경우는 $1300\sim1325^\circ\text{C}$ 인 것으로 나타났다.

4. 열간 선팽창은 본 실험범위 내에서는 ZrO_2 나 TiO_2 의 첨가에 큰 영향을 받지 않으며, 열팽창계수는 $8.10\times10^{-5}\sim9.20\times10^{-5}$ 정도의 값을 나타내, 높은 열 충격 저항값을 가질 것으로 기대된다.

참 고 문 헌

- Physical Chemistry of firing steatite Ceramics, R.L. Stone, *J. Am. Ceram. Soc.*, 26(10), 333~34 (1943)
- Talc as a body material, C.W. Parmelee and G.H. Boldwin, *Trans. Am. Ceram. Soc.*, 15, 532~546 (1913)
- A study of solid-state reaction in the ternary system $\text{MgO}-\text{ZrO}_2-\text{SiO}_2$, W.R. Foster, *J. Am. Ceram. Soc.*, 302~05 (1951, Oct.)
- Reactions in the system $\text{TiO}_2-\text{SiO}_2$ Revision of the phase diagram, R.W. Ricker, F.A. Hummel, *J. Am. Ceram. Soc.*, 271~79 (1951, Sep.)
- Notes on the constitution of steatite, Hans Thummeller and A.R. Rodriguez, *J. Am. Ceram. Soc.*, 25(15), 443~50 (1942)
- Zone characteristics of steatite bodies, L.E. Thiess, *J. Am. Ceram. Soc.*, 20(9), 311~14 (1937)
- Phase diagram of $\text{MgO}-\text{SiO}_2-\text{TiO}_2$, Franco Mosazza and Efisia Sirchia, *Chim. Ind. (Milan)*, 40, 446 (1958)
- Introduction to Ceramics, W.D. Kingery, H.K. Bowen, D.R. Uhlmann, 589~611
- The binary system $\text{MgO}-\text{SiO}_2$, N.L. Bowen and Olaf Anderson, *Am. J. Sci. (4th series)*, 37, 487~500 (1914)
- Preliminary investigation of the $\text{MgO}-\text{SiO}_2$ series, W.J. Rees and J.H. Chesters, *Trans. Ceram. Soc.*, (Engl.) 29(5) 309~16 (1930)
- Ceramics for decorative purpose, Teruko Tsuji, Japan, 6334 (1956, July)
- Manufacture of a white porcelain body of high translucency and high strength, Nippon Toki, Japan 233, 440 (1972, Mar)

13. Phase diagram for Ceramists F. P. Hall and Herbert Insley *J. Am. Ceram. Soc.*, **30**(11, part 11) 152pp, (1947)
- 14 A further investigation of the magnesia-zircon series based on X-ray and microscopic examination, A. L. Roussin and J. H. Chesters, *Trans. Ceram. Soc. (Engl.)* **30**(6), 217-24 (1931)
15. Quarterly progress report on the investigation of refractory materials, R. Beetle, H. Mckinstry, J. L. Bachman, N. R. Thielke, F. A. Humei and E. C. Henry, School of mineral industries, Report No. 15, Pennsyl. st. College, Feb. 15, (1948)
16. 磁器 素地의 物性에 미치는 陶石添加의 영향. 李應相, 林大永, *J. Korea Ceram. Soc.*, **19**(3) 21-5-22 (1982)
17. 高周波用 絶緣材料로서의 Forsterite 磁器에 관한研究(I) 李應相, 黃聖淵, *J. Korea Ceram. Soc.*, **18**(1), 13-22 (1981)

99.6% Pure Magnesia.

Martin Marietta 는 99.6% 의 MgO 를 생산했다고 한다. Magchem 특제 MgO는 Powdered Grade 나 Granular Grade 를 쓸 수 있는데 특히 Granular Grade 는 고 반응 성을 지니며, 치밀하고, 결합재나 다른 첨가제가 필요없어 먼지 나지 않게 다루거나 한정된 저장상황을 요하는 공정에 유용하다. 이 제품은 고순도이기 때문에 Ca, Fe, Si와 같은 특경한 불순물에 극히 민감한 공정에 유용한다.

(Am. Cer. Soc. Bull., 63(2), 1984)

High Purity Silver Flake.

Handy & Harman Chemical Products Center에서는 총 알칼리금속이 온 40ppm 이하, Cl⁻ 이온 10ppm 이하의 고속도 은박편을 개발하였다. Silflake 241이라 불리우는 이 박편은 대부분의 유기물에서 쉽게 Wetting하며 nondilutable system에서 낮은 점도를 나타낸다. 전도성 애플리케이션, cermet 와 고분자 후막, 그리고 콘덴서의 단자 등에 응용될 수 있다.

(Am. Cer. Soc. Bull., 63(2), 1984)